

双目成像及双目相机标定原理整理

一、 双目测距原理

单目相机一般采用针孔成像模型（详见《相机成像模型及相机标定原理整理》），其不足之处在于无法得知像素所对应实际场景中物体的深度。相应地，基于单目相机的 SLAM 方案也无法确定场景尺度。测量像素深度的方式有很多，其中双目相机模仿人眼的视差原理，通过计算同一物体在左右相机中投影的视差来计算深度。其优势在于硬件成本相对较低，但是也有着算法复杂度较高、计算量大的缺点。

理想状态下，如图 1 所示，两摄像机的光轴平行，成像平面共面，焦距相等，所在对应的像素精确对准。

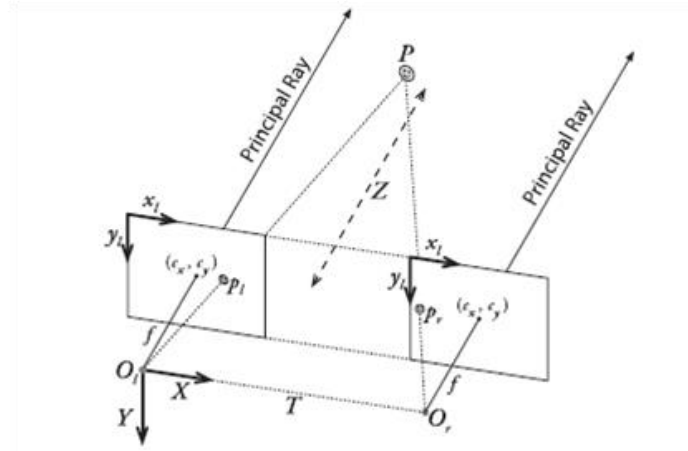


图 1 理想状态下双目测距

两光心的连线为基线 B ，即为左相机到右相机的位移 t 。以左侧相机光心为原点，确立相机坐标系，有空间中一点 $P(X, Y, Z)$ ，其中 Z 即为其深度。该点在左右相机的投影及其成像平面坐标分别为 $p_l(x_l, y)$ 、 $p_r(x_r, y)$ 。可通过相似三角形原理求点的深度

$$\frac{Z}{\|t\|} = \frac{f}{x_l - x_r}$$

即

$$Z = \frac{f\|t\|}{x_l - x_r}$$

在实际测量中，得到的是点的像素坐标 $p_l(u_l, v)$ 、 $p_r(u_r, v)$ ；从标定好的相机内参中也无法直接得到焦距 f ，而是 $\alpha = \frac{f}{dx}$ 。由

$$u = \frac{x}{dx} + u_0$$

可得

$$\begin{aligned} u_l - u_r &= \frac{x_l}{dx} + u_0 - \frac{x_r}{dx} - u_0 \\ &= \frac{x_l - x_r}{dx} \end{aligned}$$

即

$$x_l - x_r = dx(u_l - u_r)$$

因此

$$\begin{aligned}
 Z &= \frac{f\|\mathbf{t}\|}{x_l - x_r} \\
 &= \frac{f\|\mathbf{t}\|}{dx(u_l - u_r)} \\
 &= \frac{\alpha\|\mathbf{t}\|}{(u_l - u_r)} \\
 &= \frac{\alpha\|\mathbf{t}\|}{d}
 \end{aligned}$$

其中 $d = u_l - u_r$ ，为特征在双目相机投影的视差（Disparity）。

从公式推导结果易知，特征深度与视差成反比。因此，只有当被测物体与相机间距离较近时，双目测距才会有较高的分辨率和精度。另一方面，增大基线 B 也可以提高测距分辨率。然而需要注意的是，受限镜头视角，增大基线 B 的同时也会增大视觉盲区，影响最终建图效果。

二、 立体视觉模型

在实际的立体成像过程中，通常难以达到理想的共面、行对准条件。如图 2 所示，通常在确定相机畸变参数及左右相机之间的相对位姿变换之后，通过数学方法将左右图像标定为前向平行排列。

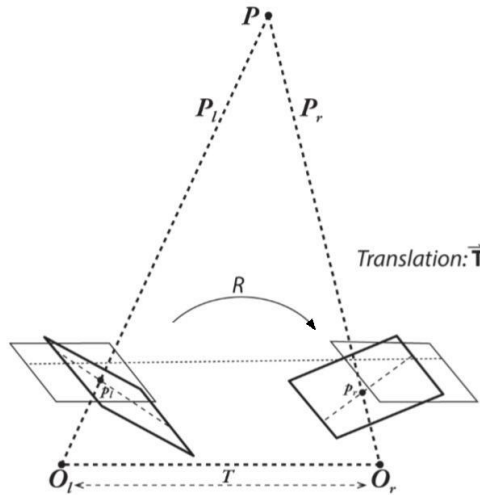


图 2 真实情况下的相机位姿关系及标定过程

右侧相机相对左侧相机的位姿可用旋转矩阵 \mathbf{R} 和平移向量 \mathbf{t} 表示。其位姿关系也可由基础矩阵（Fundamental Matrix） \mathbf{F} 和本征矩阵（Essential Matrix） \mathbf{E} 表述，称左右相机光心的连线为基线（Baseline），基线与成像平面的交点 \mathbf{e}_l 、 \mathbf{e}_r 为极点（Epipoles），连线 $\mathbf{p}_l \mathbf{e}_l$ 、 $\mathbf{p}_r \mathbf{e}_r$ （即极平面与两个成像平面的交线）可记作 \mathbf{l}_l 、 \mathbf{l}_r ，称为极线（Epipolar line）。一般通过对极几何的方式求出 \mathbf{E} 和 \mathbf{F} ，进而可确定左右相机的相对位姿。（详见《对极几何与三角测量整理》）然而在实际中，OpenCV 的双目标定函数并未使用对极几何的方式计算 \mathbf{R} 和 \mathbf{t} 。在进行双目标定时，会首先对左右相机分别进行一次单目标定，初步得到其内外参数（内参 \mathbf{K}_l 、 \mathbf{K}_r ，及外参 \mathbf{R}_l 、 \mathbf{t}_l 、 \mathbf{R}_r 、 \mathbf{t}_r ）。设空间中一点 $\mathbf{P}(X, Y, Z)$ ，在左侧相机坐标系下为 $\mathbf{P}_l(X_l, Y_l, Z_l)$ ，右侧相机坐标系下为 $\mathbf{P}_r(X_r, Y_r, Z_r)$ 。由相互间的变换关系，易知

$$\mathbf{P}_r = \mathbf{R} \mathbf{P}_l + \mathbf{t}$$

移项得

$$\mathbf{P}_l = \mathbf{R}^T (\mathbf{P}_r - \mathbf{t})$$

以及由单目标定结果可得

$$\begin{aligned} \mathbf{P}_l &= \mathbf{R}_l \mathbf{P} + \mathbf{t}_l \\ \mathbf{P}_r &= \mathbf{R}_r \mathbf{P} + \mathbf{t}_r \end{aligned}$$

代入得

$$\mathbf{R}_l \mathbf{P} + \mathbf{t}_l = \mathbf{R}^T (\mathbf{R}_r \mathbf{P} + \mathbf{t}_r - \mathbf{t})$$

可化为

$$\mathbf{R}_l \mathbf{P} + \mathbf{t}_l = \mathbf{R}^T \mathbf{R}_r \mathbf{P} + \mathbf{R}^T \mathbf{t}_r - \mathbf{R}^T \mathbf{t}$$

由于 \mathbf{P} 为空间中任一点，因此等式恒成立的条件为

$$\begin{aligned} \mathbf{R}_l &= \mathbf{R}^T \mathbf{R}_r \\ \mathbf{t}_l &= \mathbf{R}^T \mathbf{t}_r - \mathbf{R}^T \mathbf{t} \end{aligned}$$

移项得

$$\begin{aligned} \mathbf{R} &= \mathbf{R}_r \mathbf{R}_l^T \\ \mathbf{t} &= \mathbf{t}_r - \mathbf{R} \mathbf{t}_l \end{aligned}$$

这样就可以由单目标定所得的外参 \mathbf{R}_l 、 \mathbf{t}_l 、 \mathbf{R}_r 、 \mathbf{t}_r 计算得出左右相机的相对位姿关系 \mathbf{R} 和 \mathbf{t} 。一般标定时都会拍摄几十组图片，而由于误差的存在，每组图片得出的 \mathbf{R} 、 \mathbf{t} 的值会有微小的差别。因此标定时会以各组 \mathbf{R} 、 \mathbf{t} 的中位数作为初值，构造以 \mathbf{R} 、 \mathbf{t} 为参数的重投影误差函数，并使用 L-M 法进行非线性优化，以使重投影误差最小。

三、 立体校正

为便于测量特征深度，在得到 \mathbf{R} 、 \mathbf{t} 后，可使用数学方法，使左右相机的成像平面达到理想状态，即立体校正。立体校正算法有很多，按照是否得到左右相机的内参数，可分为非标定算法和已标定算法两大类。在 OpenCV 中，实现了两种校正算法，分别是非标定的 Hartley 校正算法和已标定的 Bouguet 校正算法。

3.1. Hartley 算法

Hartley 校正算法作为一种非标定算法，无需计算相机内参，主要思路为在确定了左右图像的基础矩阵和极点坐标后，寻求射影变换 \mathbf{H}_l 和 \mathbf{H}_r ，将极点映射到无穷远处，使极线与图像水平轴平行，进而实现重采样，使图像行对准。值得注意的是，Hartley 算法虽然不需要摄像机内参，但是默认图像没有径向畸变，即该算法的输入图像应首先进行单目的去畸变处理。相对于关于点的映射 \mathbf{H}_l 和 \mathbf{H}_r ，可以有对应的关于极线 \mathbf{l}_l 、 \mathbf{l}_r 的线映射

$$\mathbf{H}_l^* \mathbf{l}_l = \mathbf{H}_r^* \mathbf{l}_r$$

即， \mathbf{H}_l^* 和 \mathbf{H}_r^* 将对应极线映射到同一水平线上。

在得到左右图像的基础矩阵 \mathbf{F} 、以及极点坐标 \mathbf{e}_l 、 \mathbf{e}_r 后，首先需要确定右侧图像 \mathbf{J}_r 的射影变换 \mathbf{H}_r 。寻求矩阵 \mathbf{T} ，将图像中心 $(u_0, v_0, 1)^T$ 变换到像素坐标系原点

$$\mathbf{T} = \begin{bmatrix} 1 & 0 & -u_0 \\ 0 & 1 & -v_0 \\ 0 & 0 & 1 \end{bmatrix}$$

旋转矩阵 \mathbf{R} 将 \mathbf{J}_r 的极点 $\mathbf{e}_r = (u_r, v_r, 1)^T$ 映射到 $(f, 0, 1)^T$ ，即图像水平轴上

$$\mathbf{R} = \begin{bmatrix} \cos \theta & \sin \theta & 0 \\ -\sin \theta & \cos \theta & 0 \\ 0 & 0 & 1 \end{bmatrix}$$

其中 $\theta = \tan^{-1}(v_r/u_r)$ 为旋转角度。

矩阵 \mathbf{G} 将 $(f, 0, 1)^T$ 映射到水平方向的无穷远点 $(f, 0, 0)^T$

$$G = \begin{bmatrix} 1 & 0 & 0 \\ 0 & 1 & 0 \\ -1/f & 0 & 1 \end{bmatrix}$$

整体的作用过程如图 3 所示。

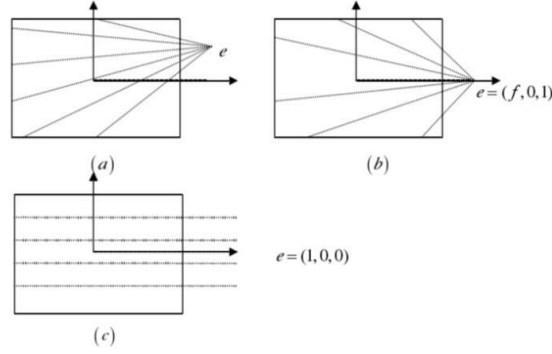


图 3 变换的作用过程

由此可以得出射影变换矩阵

$$H_r = GRT$$

在得到 H_r 后，可以得出 H_l 的一组候选值

$$H_l = (I + H_r e_r a^T) H_r M$$

其中 a 为任意向量， M 为由 F 得到的非奇异矩阵

$$F = [e_r]_{\times} M$$

由于 a 为任意向量，因此 H_l 的候选值不唯一，可通过最小二乘的方式得出 H_l 的最优解 (u_i 、 u'_i 为对应点)

$$\min \sum_i d(H_l u_i, H_r u'_i)^2$$

其中 H_r 将 e_r 映射到无穷远点 $(1, 0, 0)^T$ ，因此

$$\begin{aligned} I + H_r e_r a^T &= I + (1, 0, 0)^T a^T \\ &= A = \begin{bmatrix} a & b & c \\ 0 & 1 & 0 \\ 0 & 0 & 1 \end{bmatrix} \end{aligned}$$

令 $H_0 = H_r M$ ，则有 $H_l = A H_0$ 。令 $\hat{u}_i = H_0 u_i$ ， $\hat{u}'_i = H_r u'_i$ ，所求最小二乘可化为

$$\min \sum_i d(A \hat{u}_i, \hat{u}'_i)^2$$

令 $\hat{u}_i = (\hat{u}_i, \hat{v}_i, 1)^T$ ， $\hat{u}'_i = (\hat{u}'_i, \hat{v}'_i, 1)^T$ ， H_r 和 M 已知，那么最小二乘可化为

$$\min \sum_i (a \hat{u}_i + b \hat{v}_i + c - \hat{u}'_i)^2 + (\hat{v}_i - \hat{v}'_i)^2$$

其中第二项由对应点的坐标决定，与所求矩阵无关，因此可通过求解下式最小值来得出 H_l 的最优解

$$\min \sum_i (a \hat{u}_i + b \hat{v}_i + c - \hat{u}'_i)^2$$

之后由 $\hat{u} = H u$ 进行对应坐标的重采样，并插值即可。

3.2. Bouguet 算法

对于已通过标定得出相机内外参数的情况而言，Bouguet 校正更为适用。Bouguet 算法通过

标定得出的相对位姿 \mathbf{R} 、 \mathbf{t} ，在减小重投影误差的同时尽量最大化共同投影面积，来实现图像的行对准。

将 \mathbf{R} 拆分为 \mathbf{r}_l 和 \mathbf{r}_r ，使得

$$\mathbf{R} = \mathbf{r}_r^{-1} \mathbf{r}_l$$

$$\mathbf{r}_r \cdot \mathbf{r}_l = 1$$

这样可以视为将左右相机各自旋转一半的角度，方向相反，使两个成像平面共面，此时的图像共面而并未对准。之后再通过矩阵 \mathbf{R}_{rect} ，将图像修正为行对准，即极点映射到无穷，极线映射为水平。另一种思路则如图 4 所示，视为通过矩阵 \mathbf{R}_{rect} ，将并非平行的图像旋转到平行。

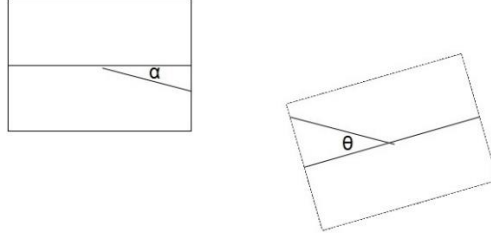


图 4 旋转到共面之后的图像，之后将其映射到行对准

令

$$\mathbf{R}_{rect} = \begin{bmatrix} \mathbf{e}_1^T \\ \mathbf{e}_2^T \\ \mathbf{e}_3^T \end{bmatrix}$$

那么有

$$\mathbf{e}_1 = \frac{\mathbf{t}}{\|\mathbf{t}\|}$$

其中 \mathbf{t} 为平移向量， $\mathbf{t} = [t_x \ t_y \ t_z]^T$ 。要求 \mathbf{e}_2 与 \mathbf{e}_1 正交，则取 \mathbf{e}_2 为主光轴 $[0 \ 0 \ 1]^T$ 与 \mathbf{e}_1 的叉积

$$\mathbf{e}_2 = [-t_y \ t_x \ 0]^T \cdot \frac{1}{\sqrt{t_x^2 + t_y^2}}$$

要求 \mathbf{e}_3 与 \mathbf{e}_1 、 \mathbf{e}_2 都正交，则取 \mathbf{e}_3 为二者叉积

$$\mathbf{e}_3 = \mathbf{e}_1 \times \mathbf{e}_2$$

那么总体的摄像机旋转为

$$\mathbf{R}_l = \mathbf{R}_{rect} \mathbf{r}_l$$

$$\mathbf{R}_r = \mathbf{R}_{rect} \mathbf{r}_r$$

之后为便于进行图像坐标转换，有左右相机的校正后投影矩阵 \mathbf{P}_l 、 \mathbf{P}_r 及重投影矩阵 \mathbf{Q} 。其中 \mathbf{P} 为校正后相机内参矩阵 \mathbf{K}_{rect} 结合投影矩阵 \mathbf{P}' 而得

$$\mathbf{P}_l = \mathbf{K}_{rect_l} \cdot \mathbf{P}'_l = \begin{bmatrix} f_{rect_l} & 0 & u_{0l} \\ 0 & f_{y_l} & v_{0l} \\ 0 & 0 & 1 \end{bmatrix} \begin{bmatrix} 1 & 0 & 0 & 0 \\ 0 & 1 & 0 & 0 \\ 0 & 0 & 1 & 0 \end{bmatrix}$$

$$\mathbf{P}_r = \mathbf{K}_{rect_r} \cdot \mathbf{P}'_r = \begin{bmatrix} f_{rect_r} & 0 & u_{0r} \\ 0 & f_{y_r} & v_{0r} \\ 0 & 0 & 1 \end{bmatrix} \begin{bmatrix} 1 & 0 & 0 & t_x \\ 0 & 1 & 0 & 0 \\ 0 & 0 & 1 & 0 \end{bmatrix}$$

校正后投影矩阵将相机系下的 3D 齐次坐标映射到校正后的左右图像中，即

$$\begin{bmatrix} x \\ y \\ w \end{bmatrix} = P \begin{bmatrix} X_c \\ Y_c \\ Z_c \\ 1 \end{bmatrix}$$

投影后的像素坐标为

$$\begin{aligned} u &= x/w \\ v &= y/w \end{aligned}$$

重投影矩阵 Q 为

$$Q = \begin{bmatrix} 1 & 0 & 0 & -u_{0l} \\ 0 & 1 & 0 & -v_{0l} \\ 0 & 0 & 0 & f \\ 0 & 0 & -1/t_x & (u_{0l} - u_{0r})/t_x \end{bmatrix}$$

重投影矩阵将得到视差后的像素坐标映射到相机坐标系中，即

$$\begin{bmatrix} X_c \\ Y_c \\ Z_c \\ W_c \end{bmatrix} = Q \begin{bmatrix} u \\ v \\ d \\ 1 \end{bmatrix}$$

参考

- [1] 高翔, 张涛, 刘毅, 等. 视觉SLAM十四讲[M]. 2017年3月第1版. 电子工业出版社, 2017.
- [2] Kaehler A, Bradski G. 学习 OpenCV3[M]. 阿丘科技团队, 译. 北京:清华大学出版社, 2018.
- [3] Hartley R I. Theory and Practice of Projective Rectification[J]. International Journal of Computer Vision, 1999, 35(2): 1-16.
- [4] 陈宏洋. 双目视觉深度信息提取及其关键算法研究[D].电子科技大学,2016.
- [5] 李杰. 基于双目视觉的深度重建技术的研究和应用[D].吉林大学,2016.